

# Soluções otimizadas via Algoritmo Genético para o controle do mosquito transmissor da Dengue

Luiz G. Lyra, Helenice de O. F. Silva, Fernando L. P. dos Santos,

Daniela R. Cantane

Depto. de Bioestatística, IBB, UNESP,

18618-970, Botucatu, SP

E-mail: {lglyra,helenice,flpio,dcantane}@ibb.unesp.br

**Resumo:** Neste trabalho é apresentada estratégias otimizadas como propostas para o controle do mosquito transmissor da Dengue. Estas estratégias foram obtidas por meio do desenvolvimento do Algoritmo Genético (AG) capaz de resolver o problema de otimização proposto. O modelo matemático baseia-se em Thomé, 2007, [4]. Este modelo descreve a dinâmica de mosquitos nas fases aquática e alada e considera variáveis de controles químicos, por inseticidas, e biológico, pela inserção de mosquitos machos estéreis no meio ambiente, [1, 3]. Soluções otimizadas para as variáveis de controle sugeridas pelo AG proposto são apresentadas. O AG aqui proposto mostrou ser uma ferramenta versátil e de grande aplicabilidade no controle das populações de mosquitos.

**Palavras-chave:** *Aedes aegypti*, controle ótimo, controle químico, controle biológico, mosquitos esteréis.

## 1 Introdução

A Dengue é uma doença febril causada pelo vírus do gênero Flavivírus da família Flaviviridae. A transmissão ocorre pela picada do mosquito fêmea, do gênero *Aedes aegypti*, contaminada por este vírus. Atualmente há quatro sorotipos: DEN-1, DEN-2, DEN-3 e DEN-4. Tal enfermidade é característica de regiões tropicais e subtropicais; Em particular, no Brasil, sua incidência tem crescido nas últimas décadas, [6]. O ciclo de vida do *Aedes aegypti* é compreendido por duas fases: aquática (ovo, larva e pupa) e alada (mosquito adulto). Devido à grande resistência dos ovos do *Aedes* às épocas secas, aliada às condições favoráveis ao seu desenvolvimento, sua erradicação ainda está longe de ser atingida. Assim, a única forma é estabelecer mecanismos de controle da doença que reduzam a população do mosquito transmissor. Atualmente, os mecanismos de controles existentes são: químico (uso de inseticidas), biológico (inserção de organismos vivos no meio ambiente) e mecânico (remoção de criadouros). O objetivo principal deste trabalho é obter estratégias otimizadas para o controle da Dengue. Para atingir este objetivo é proposto um AG que permite um amplo espaço de busca de soluções no problema e a inserção de valores de referências na resposta final e, de fácil implementação.

## 2 Modelo Matemático

Neste trabalho considera-se o modelo matemático desenvolvido e amplamente discutido por Thomé, [4, 5]. Com base neste modelo, tem-se o seguinte problema de otimização:

$$\text{Minimizar } J = J[u_1, u_2] = \frac{1}{2} \int_0^T (c_1 u_1^2 + c_2 u_2^2 + c_3 F^2 - c_4 S^2) dt, \quad (1)$$

sujeito a

$$\begin{aligned} \frac{dA}{dt} &= \phi \left( 1 - \frac{A}{C} \right) F - (\gamma + \mu_A) A \\ \frac{dI}{dt} &= r\gamma A - \left[ \frac{\beta M}{M+S} + \frac{\beta_S S}{M+S} + (\mu_I + u_1) \right] I \\ \frac{dF}{dt} &= \frac{\beta M I}{M+S} - (\mu_F + u_1) F \\ \frac{dM}{dt} &= (1-r)\gamma A - (\mu_M + u_1) M \\ \frac{dS}{dt} &= u_2 - (\mu_S + u_1) S \\ R &= \frac{\phi r \gamma \beta}{(\gamma + \mu_A)(\beta + \mu_I)\mu_F} \\ A(0) = A_0 &= \frac{C(R-1)}{R} \\ I(0) = I_0 &= \frac{r\gamma A_0}{\mu_I + \beta} \\ F(0) = F_0 &= \frac{(\gamma + \mu_A) C A_0}{\phi(C - A_0)} \\ M(0) = M_0 &= \frac{(1-r)\gamma A_0}{\mu_M} \\ S(0) = S_0 &= 0 \\ u_1 &\geq 0 \\ u_2 &\geq 0, \end{aligned} \quad (2)$$

sendo  $T$  é o período de uso do controle;  $c_1, c_2, c_3$  e  $c_4$  são as importâncias relativas do custo com inseticidas, da produção de mosquitos estéreis, do número de fêmeas fertilizadas e de preservação de mosquitos estéreis, respectivamente;  $R = \frac{\phi r \beta}{(\gamma + \mu_A)(\beta + \mu_I)\mu_F}$  é a taxa de reprodutividade que mede o potencial máximo de reprodução de uma doença infecciosa;  $R > 1$  representa o equilíbrio endêmico estável. A variável de estado  $U$ , relacionada aos mosquitos fêmeas não-fertilizadas, é desacoplada do sistema dinâmico, (2) e dada por:

$$\frac{dU}{dt} = \frac{\beta_S S I}{M+S} - (\mu_U + \mu_1) U. \quad (3)$$

As taxas de mortalidade per capita dos mosquitos são  $\mu_A$  na fase aquática;  $\mu_I$  para fêmeas imaturas;  $\mu_F$  para fêmeas fertilizadas;  $\mu_U$  para fêmeas não-fertilizada;  $\mu_M$  para machos naturais;  $\mu_S$  para machos estéreis. A taxa de oviposição da fêmea fertilizada  $F$  é proporcional a sua densidade, depende do número de criadouros e é dada por  $\phi \left( 1 - \frac{A}{C} \right)$ , sendo  $\phi$  a taxa de oviposição intrínseca;  $C$  é a capacidade do meio relacionada com o número de nutrientes e espaço. Os mosquitos na fase aquática  $A$  passam para a fase alada com uma taxa per capita  $\gamma$ , onde uma proporção  $r$  são de fêmeas e  $(1-r)$  são de machos. A mudança de fase das fêmeas imaturas  $I$  para as fases fertilizadas  $F$  e não-fertilizadas  $U$  depende principalmente do número de encontros com os machos naturais  $M$  e com os machos estéreis  $S$  (irradiados). A probabilidade de encontro entre uma fêmea  $I$  com um macho natural  $M$  é dada por  $\frac{M}{M+S}$ . A taxa per capita com que as fêmeas são fertilizadas é dada por  $\frac{\beta M}{M+S}$ , sendo  $\beta$  a taxa de acasalamento dos mosquitos naturais. A probabilidade de encontro de um macho estéril  $S$  com uma fêmea  $I$  não depende apenas do número de mosquitos machos irradiados e é dada por  $\frac{pS}{M+S}$ , em que  $0 \leq p \leq 1$  é a proporção com que os mosquitos estéreis são colocados nos locais adequados. A taxa de acasalamento efetiva dos mosquitos estéreis é dada por  $q\beta$ , com  $0 \leq q \leq 1$ , sendo  $q$  a redução do interesse em acasalamento do mosquito macho após o processo de irradiação. A taxa per capita com que as fêmeas  $I$  são fertilizadas pelos mosquitos estéreis  $S$  é dada por  $\frac{\beta_S S}{M+S}$ , em que  $\beta_S = pq\beta$ .

Finalmente,  $u_2$  é a taxa em que a população de mosquitos estéreis  $S$  são colocadas no meio ambiente. A Figura 1 abaixo ilustra a dinâmica completa. Propõe-se a resolução do problema de controle ótimo mono-objetivo (1)-(2) e da Eq. (3) com uso de heurísticas. A Equação (1) representa a medida de desempenho do controle. Portanto, neste problema de controle ótimo, o objetivo é minimizar o valor do funcional  $J$ . Discute-se, assim, o AG proposto para resolução deste problema.

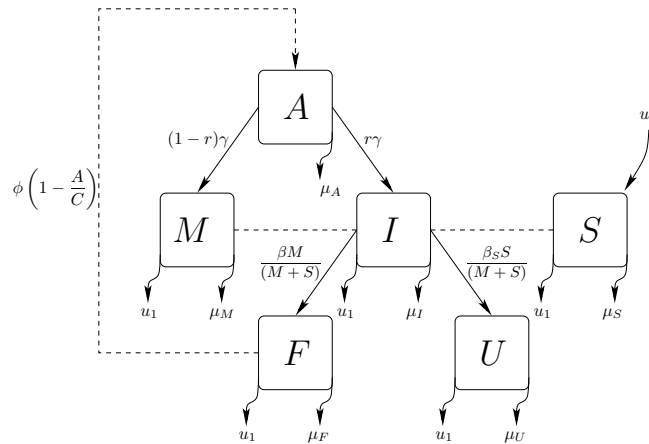


Figura 1: Diagrama da dinâmica populacional considerando as populações  $A, I, F, M, S$  e  $U$ ;  $u_1$  e  $u_2$  são os controles químico e biológico, respectivamente.

### 3 Algoritmo Genético proposto

Nesta seção apresentamos um Algoritmo Genético (AG) para resolução do problema de controle ótimo mono-objetivo (1)-(2), que consiste em determinar  $(u_1^*, u_2^*)$  que minimiza  $J[u_1, u_2]$  sujeito às restrições propostas, [2]. Os passos a seguir resumem o AG.

- Passo 1** [Indivíduos]: definir a estrutura do indivíduo, ou cromossomo,  $(u_1, u_2)$ ;
- Passo 2** [População inicial]: gerar aleatoriamente uma população de  $n$  indivíduos;
- Passo 3** [Avaliação]: Calcular a aptidão de cada indivíduo da população, isto é, calcular a função *fitness*,  $f_i$ , para cada  $u_i = (u_1, u_2)_i$ :

$$f_i = \frac{1}{J[u_i] P_i},$$

sendo  $P_i = \begin{cases} 1, & \text{se } u_i \text{ é factível,} \\ 10^5, & \text{caso contrário.} \end{cases}$

$J[u_i]$  é o valor da função objetivo avaliada em  $u_i$ , obtido pelo método clássico de integração numérica 1/3 de Simpson Generalizada.

- Passo 4** [Elite]: Armazenar os indivíduos de melhor aptidão no conjunto nomeado Elite;
- Passo 5** [Seleção]: Selecionar  $ps\%$  de indivíduos da população e armazenar na população intermediária para o cruzamento (próximo passo);
- Passo 6** [Crossover]: Fazer o cruzamento dois a dois entre os indivíduos selecionados no Passo 5;
- Passo 7** [Mutaç o]: Selecionar com a probabilidade  $pm$  os indivíduos da população que sofrerão mutação;

- Passo 8** [Nova população]: Selecionar os  $n$  indivíduos de melhor aptidão dentre a população intermediária e a população anterior;
- Passo 9** [Avaliação]: Calcular a aptidão de cada indivíduo da população e atualizar o conjunto Elite;
- Passo 10** [Critério de parada]: Se o critério de parada for satisfeito (número de gerações), vá para o Passo 11; Caso contrário, vá para o Passo 5.
- Passo 11** [Fim]: A solução é o melhor indivíduo  $u_i$  presente no conjunto Elite.

Dessa forma, as propriedades deste algoritmo são: (i) fácil de ser implementado; (ii) permite inserir novas restrições ao problema, sem dificultar sua resolução. Assim, pode-se inserir valores de referências sobre as saídas dos estados ( $A, I, F, M, S$  e  $U$ ) do sistema (2), satisfazendo (i) e (ii). Considerando o estado  $F$ , seja  $F_{fixo}$  o tamanho máximo de fêmeas fertilizadas para um dado tempo  $t_{fixo}$ . Com isso,  $F(t) \leq F_{fixo}$ , para todo  $t \geq t_{fixo}$ , é uma restrição fundamental no processo de controle. Como consequência imediata, tem-se que o crescimento desta população será, assim, controlado. A seção seguinte apresenta os resultados obtidos por meio do AG proposto neste trabalho.

## 4 Resultados

A Tabela 1 apresenta os parâmetros utilizados no problema de otimização (1)-(2). Utilizando estes parâmetros, obtêm-se as condições iniciais apresentadas na Tabela 2. Estas condições traduzem o equilíbrio do sistema e pior situação da doença para  $R > 1$ . Assim, o controle é aplicado quando a população de mosquitos é densa. As Tabelas 3 e 4 mostram, respectivamente, o valor para a restrição sobre  $F$  e os parâmetros utilizados no AG. Na Tabela 4,  $T$  é o período de uso do controle;  $G$  é o número de gerações;  $n$  é o número de indivíduos da população;  $P$  é a penalização imposta aos indivíduos ineficazes;  $K$  é o número de elementos da elite;  $ps\%$  é a porcentagem de indivíduos selecionados para o crossover e  $pm$  é a probabilidade de um indivíduo sofrer mutação.

Tabela 1: Parâmetros utilizados no modelo, [4].

$C$	$\gamma$	$\phi$	$r$	$\beta$	$\mu_A$	$\mu_I$	$\mu_F$	$\mu_U$	$\mu_M$
13	0,07	0,5	0,5	1	0,05	0,05	0,05	0,05	0,1

Tabela 2: Condições iniciais utilizadas, [4].

$A(0)$	$I(0)$	$F(0)$	$M(0)$	$S(0)$
8,3200	0,2773	5,5467	2,9120	0

Tabela 3: Parâmetros para a restrição em  $F$ .

$t_{fixo}$	$F_{fixo}$
30	0,3

Tabela 4: Parâmetros utilizados no Algoritmo Genético.

$T$	$G$	$n$	$P$	$K$	$ps\%$	$pm$
120	1000	500	$10^5$	50	80%	0,05

Tabela 5: Parâmetros utilizados nos coeficientes  $c_i, i = 1, \dots, 4$ .

$c_1$	$c_2$	$c_3$	$c_4$
1	1	1	1

Com base em [2], normaliza-se as parcelas do funcional  $J$ , tal que tenham a mesma magnitude. Os coeficientes  $c_i$ ,  $i = 1, \dots, 4$ , são dados conforme a Tabela 5. As equações diferenciais que descrevem a dinâmica das populações de mosquitos é resolvido aplicando-se o método de Runge-Kutta de quarta ordem. O problema de controle ótimo, bem como o AG proposto foi implementado em linguagem C. Para esta implementação foi utilizado o período de tempo  $T$  igual a 120 dias. Para avaliar a aplicabilidade e a versatilidade do AG em sugerir estratégias otimizadas de controle de mosquitos, elaborou-se as situações 1 e 2 abaixo.

**Situação 1:**  $u_1(t)$  e  $u_2(t)$  constantes em períodos de aplicação de 10 em 10 dias ao longo do tempo  $T$ .

As Figuras 2 e 3 mostram as variáveis de controle  $u_1(t)$  e  $u_2(t)$ , respectivamente, sugeridas de forma otimizada pelo AG aqui proposto. Estes valores são então utilizados na resolução do sistema (2). As Figuras 4 e 5 mostram os efeitos desses controles na dinâmica da população de mosquitos fêmeas. Em particular, pode-se notar o decrescimento da população de fêmeas fertilizadas, Figura 4.

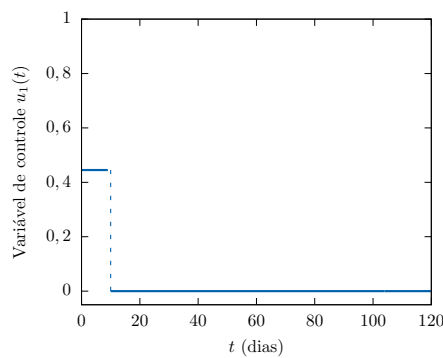


Figura 2: Variável de controle  $u_1(t)$  referente ao investimento com inseticida.

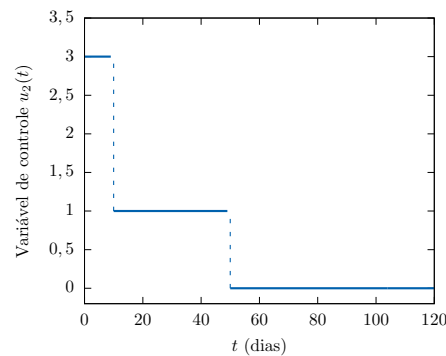


Figura 3: Variável de controle  $u_2(t)$  referente ao investimento com mosquitos machos estéreis.

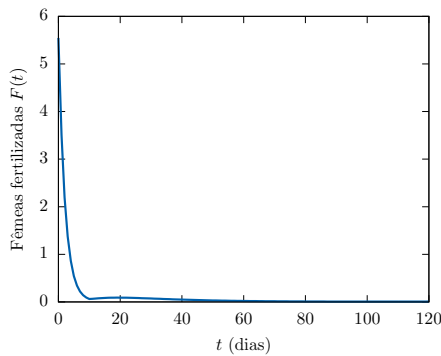


Figura 4: População de mosquitos fêmeas fertilizadas  $F$ .

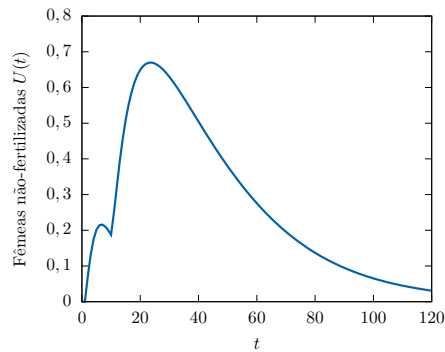


Figura 5: População de mosquitos fêmeas não-fertilizadas  $U$ .

**Situação 2:** Iniciar com  $u_1(t)$  e  $u_2(t)$  constantes. Neste caso, o AG determina a melhor forma de aplicação.

Nesta situação, o AG sugere a quantidade que se deve aplicar de cada controle e o melhor período de aplicação. Aqui, AG aponta que quando o investimento de um dos controles é alto, o outro deve ser baixo. Este comportamento pode ser visto nas Figuras 6 e 7 que apontam altos valores para  $u_2(t)$  e baixos valores para  $u_1(t)$ , no período entre 30 e 120 dias. Isto resulta em

baixos investimentos na aplicação desses controles e mostra a versatilidade do AG aqui proposto. As Figuras 8 e 9 mostram os efeitos desses controles na dinâmica da população de mosquitos fêmeas. Novamente, é possível notar o decrescimento da população de fêmeas fertilizadas, Figura 8.

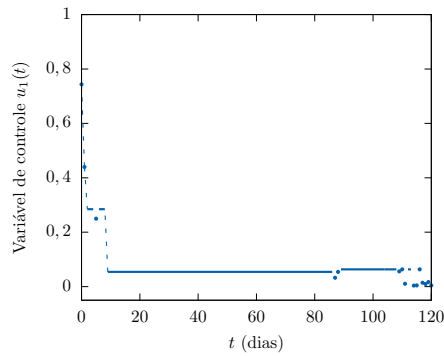


Figura 6: Variável de controle  $u_1(t)$  referente ao investimento com inseticida.

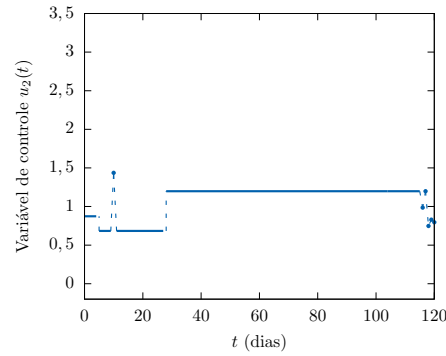


Figura 7: Variável de controle  $u_2(t)$  referente ao investimento com mosquitos machos estéreis.

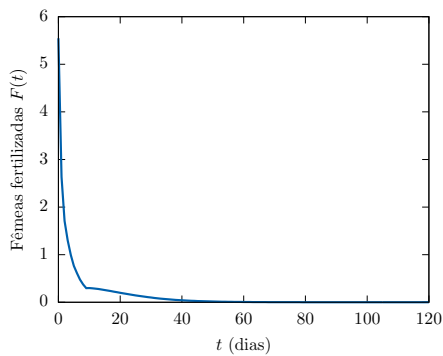


Figura 8: População de mosquitos fêmeas fertilizadas  $F$ .

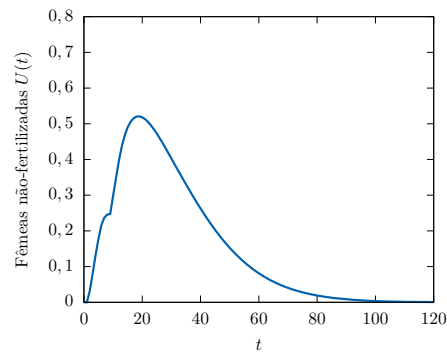


Figura 9: População de mosquitos fêmeas não-fertilizadas  $U$ .

A Tabela 6 apresenta os valores do funcional  $J$  para as situações 1 e 2. Como o objetivo é minimizar o valor de  $J$ , segue que a situação 2 ( $J = 1,96$ ) representa, dentre as duas, a melhor estratégia que otimizará a aplicação dos controles ao longo do tempo considerado.

Tabela 6: Comparação dos valores de  $J$ .

Situação	$J$
1	2,57
2	1,96

## 5 Conclusões

Como conclusões acerca deste trabalho, cujo objetivo foi a obtenção de estratégias otimizadas para o controle da Dengue via método heurístico, tem-se que o AG aqui proposto:

- mostrou ser uma ferramenta versátil e de grande aplicabilidade na obtenção de resultados otimizados para o problema em questão;
- possui as propriedades: (i) fácil de ser implementado; (ii) vantagem de inserir novas restrições ao problema, sem impor novas dificuldades na resolução;

- com o Passo 3, permitiu impor penalidades sobre as soluções infactíveis, ampliando o espaço de busca na região de factibilidade;
- sugeriu como melhor estratégia de controle, dentre as situações analisadas, aquela em que as variações dos controles e os períodos de aplicações são ambos determinados pelo algoritmo.

## Referências

- [1] A. C. Bartlett; R. T. Staten, *The sterile release method and other genetic control strategies*, Radcliffe's IPM World Textbook, University of Minnesota, 1996.
- [2] Kalyanmoy Deb and Deb Kalyanmoy. *Multi-Objective Optimization Using Evolutionary Algorithms*. John Wiley & Sons, Inc., New York, NY, USA, 2001.
- [3] L. Esteva & H. M. Yang: Mathematical Model to Assess the Control of *Aedes aegypti* Mosquitoes by Sterile Insect Technique, *Mathematical Biosciences*, 198: 132-147 (2005).
- [4] R. C. A. Thomé. Controle ótimo aplicado na estratégia de combate ao *Aedes aegypti* utilizando inseticida e mosquitos estéreis, Tese de Doutorado, IMECC/UNICAMP, 2007.
- [5] R. C. A. Thomé; H. M. Yang, L. Esteva. *Optimal control of Aedes aegypti mosquitoes by the sterile insect technique and insecticide*, *Mathematical Biosciences*, Elsevier, **223** (2010), 12-23.
- [6] World Health Organization. *Dengue: Guidelines for Diagnosis, Treatment, prevention and control*, 2nd edn. Geneva: WHO, 2009.